

Avaliação do Impacto da Segurança sobre a Fragmentação em Redes de Sensores Sem Fio na Internet das Coisas

Francisco Ferreira de Mendonça Júnior (UFPE)

ffmj@cin.ufpe.br

Obionor de Oliveira Nóbrega (UFRPE)

obionor.nobrega@ufrpe.br

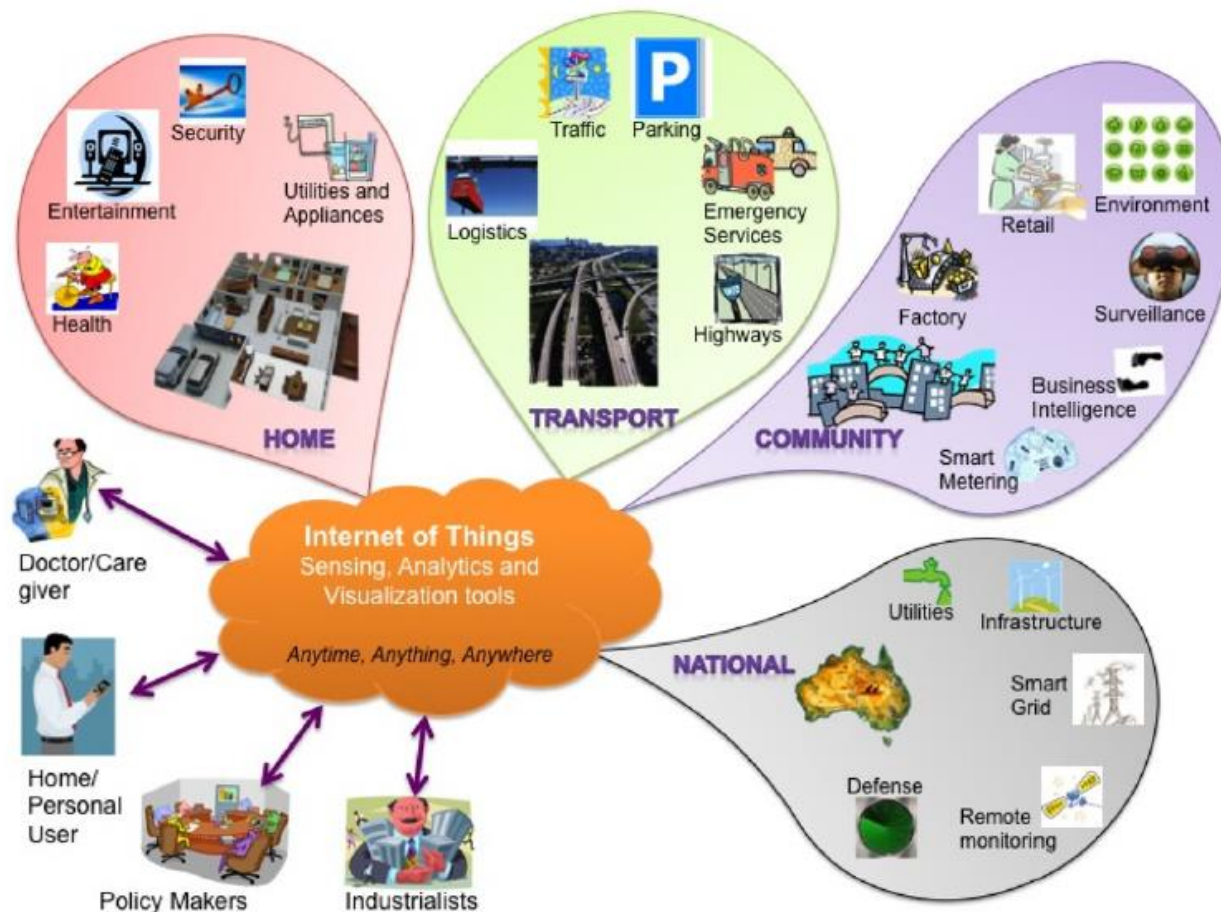
Paulo Roberto Freire Cunha (Orientador)(UFPE)

prfc@cin.ufpe.br

Estrutura

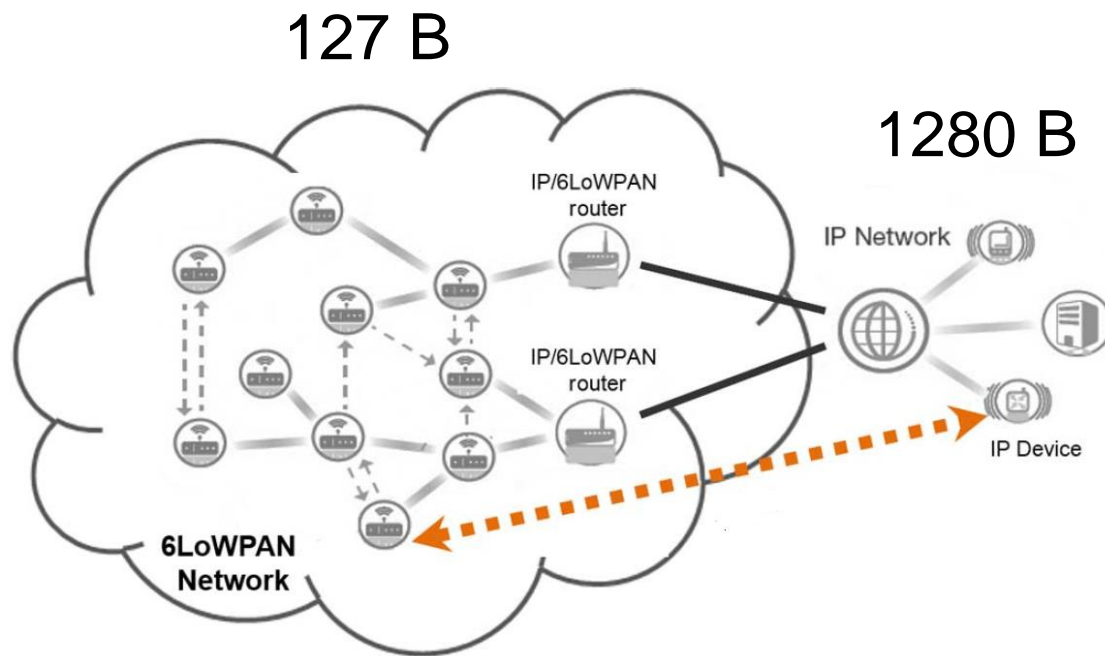
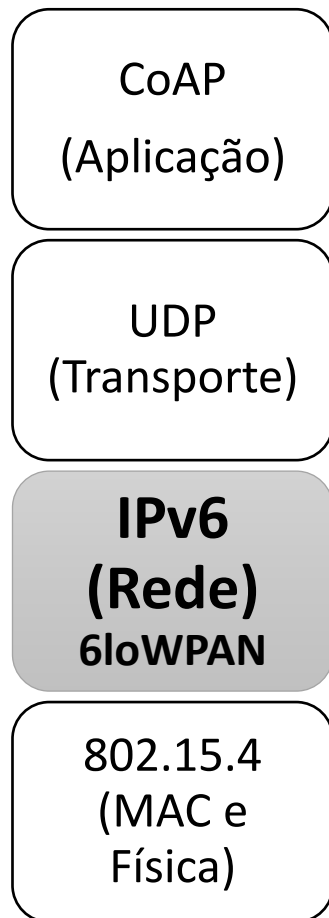
1. Motivação
 1. Internet das Coisas, Fragmentação e Segurança
2. Proposta
3. Experimento
4. Resultados e Conclusões

Internet das Coisas (Arquiteturas)



Avaliação do Impacto da Segurança sobre a Fragmentação em Redes de Sensores Sem Fio na Internet das Coisas

Fim a Fim



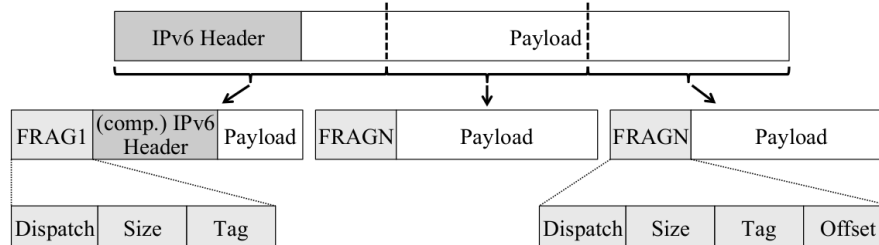
Fragmentação em 6LoWPAN

Aumento na quantidade de transmissões

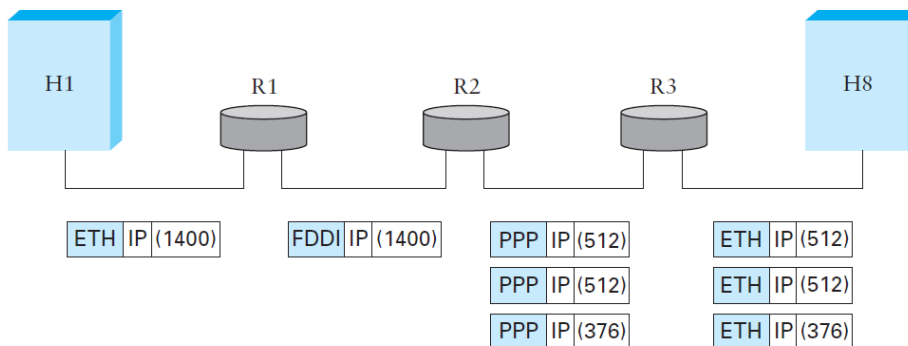
Aumento no processamento de pacotes

Probabilidade de perda

Retransmissão



[Hummen et al. 2013]

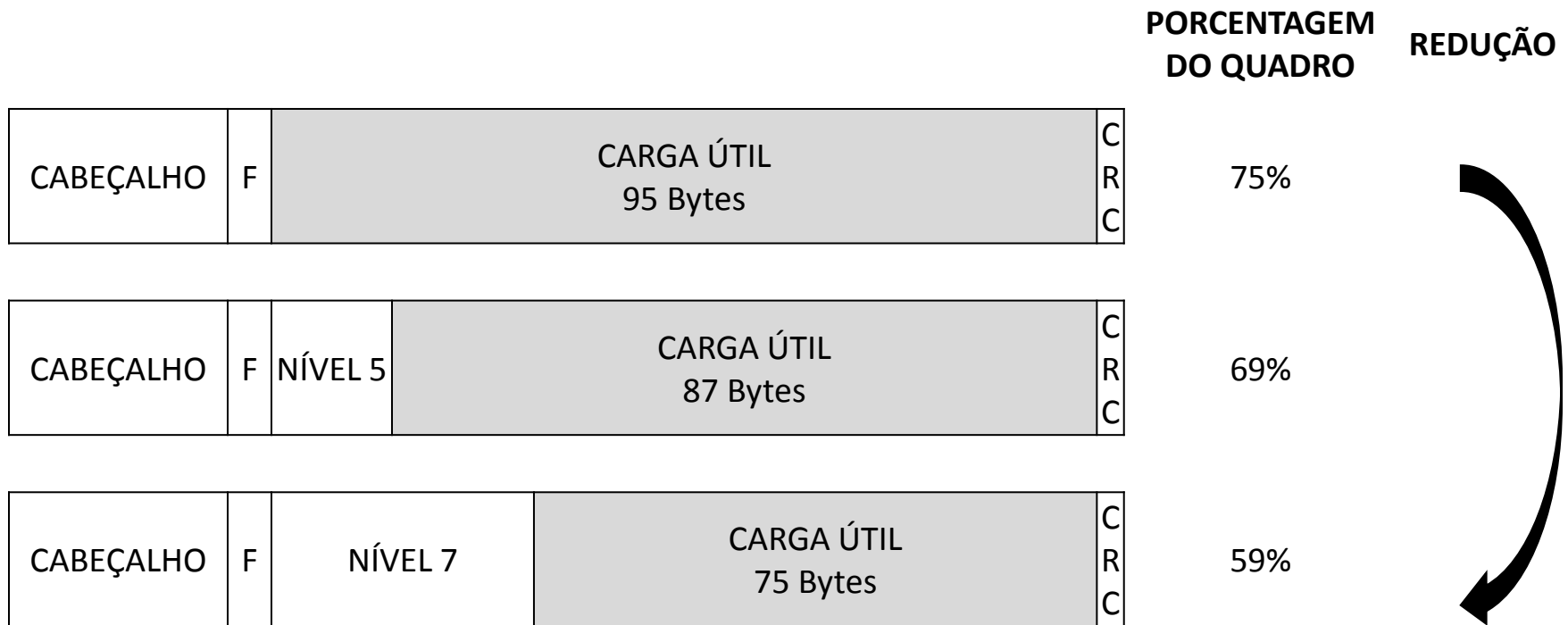


[Peterson and Davie 2007]

Segurança no padrão 802.15.4

Security Level	Description	Dados Criptografados	Proteção de Integridade e Autenticidade	Security Overhead (bytes)
0	Unsecure			0
1	AES-CBC-MAC-32		X	4
2	AES-CBC-MAC-64		X	8
3	AES-CBC-MAC-128		X	16
4	AES-CTR	X		5
5	AES-CCM-32	X	X	9
6	AES-CCM-64	X	X	13
7	AES-CCM-128	X	X	21

Segurança (Autenticidade)



Revisão de Literatura (Fragmentação)

	[Harvan and Schönwälder 2008]	[Cody-Kenny et al. 2008]	[Pope and Simon 2013]
Descrição	RTT em ICMP de 100 bytes a 1280 bytes	Atraso e perdas em ICMP	16, 36 e 64 dispositivos
Pontos Negativos	1 sensor	4 sensores	2 fragmentos

Revisão de Literatura (Impacto da Fragmentação)

	[Kuryla and Schönwälder 2011]	[Raza et al. 2013]	[Ludovic, 2014]	[Rachedi et al. 2015]
Descrição	SNMP para redes de sensores	Mensagens de negociação de DTLS	Comparação com blockwise transfer	Segurança para determinação de rotas
Pontos Negativos	Sem proposta de redução	Sem proposta de redução	Sem proposta de redução	Sem avaliação da fragmentação

Problema de Pesquisa e Proposta

Fragmentação em 6LoWPAN

- Impactos negativos no **atraso**, no processamento (consumo energético) e na perda de pacotes

Variação do nível de segurança no padrão 802.15.4

- Análise e avaliação da variação do nível de segurança por frame para a redução da fragmentação

Objetivos

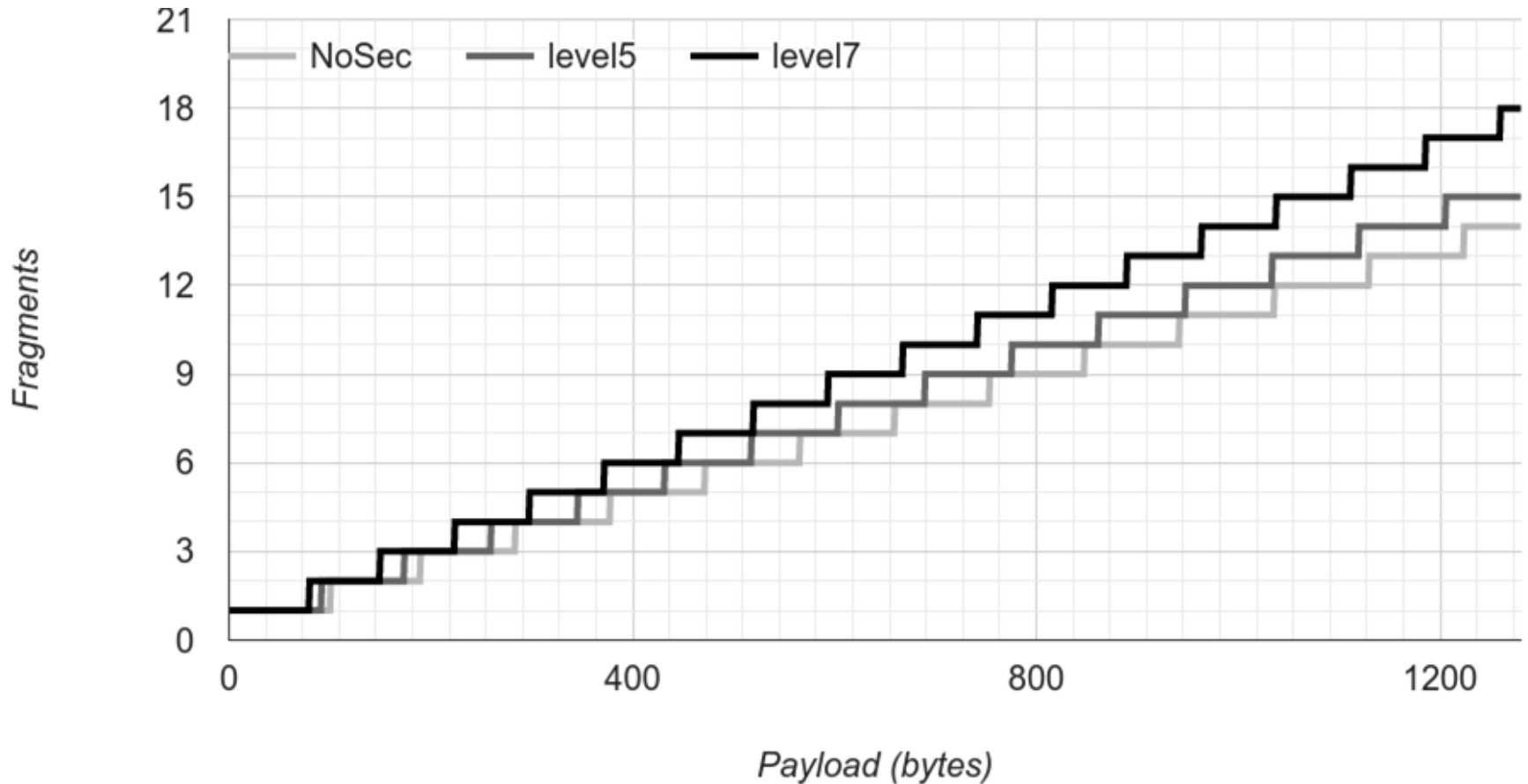
Identificação de Situações

- Identificar quantidade de dados e cenários onde a aplicação de segurança influencia na fragmentação

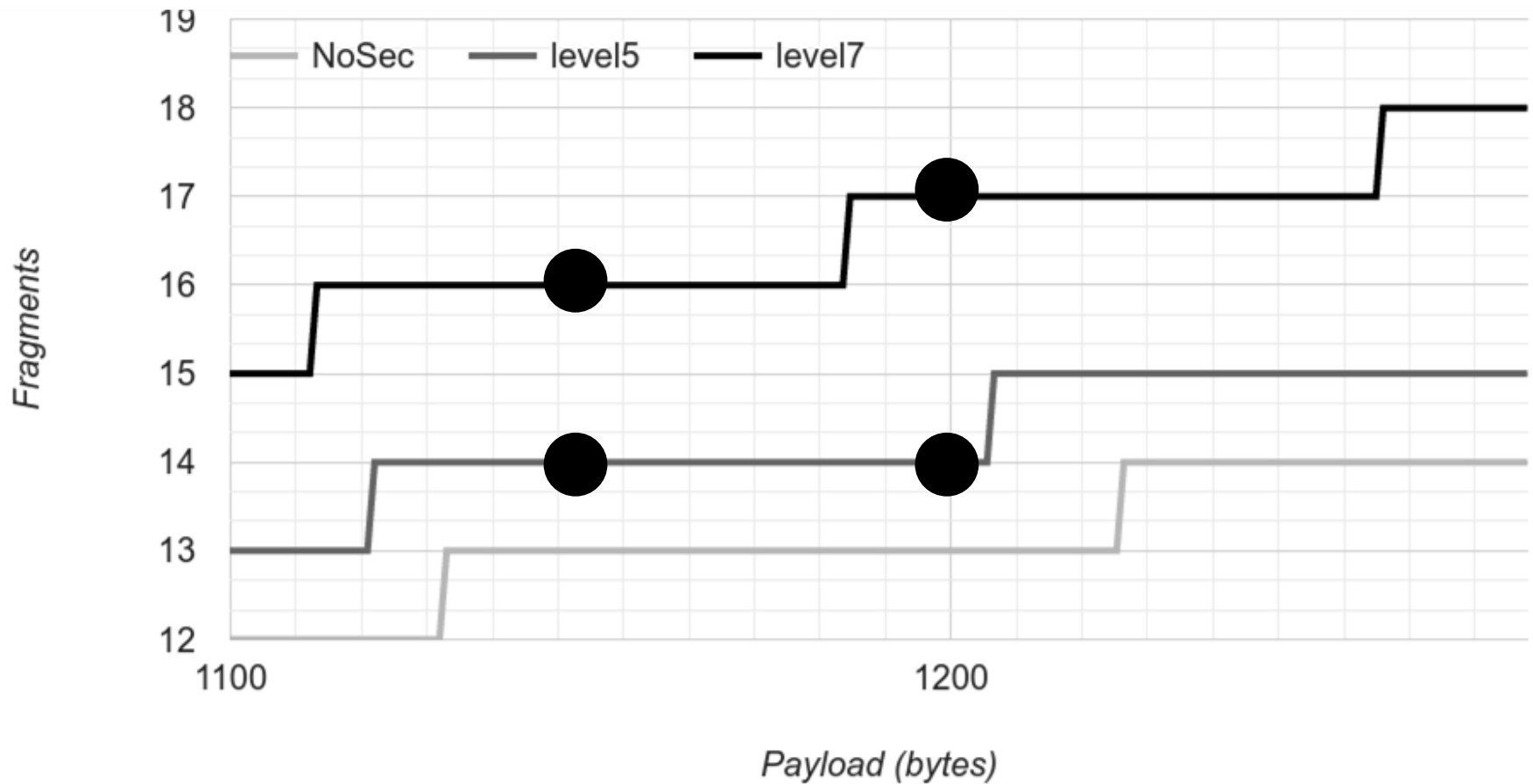
Avaliação de Benefícios

- Avaliar os benefícios da redução da fragmentação

Relação entre carga útil e fragmentos



Relação entre carga útil e fragmentos



Estimativa e Redução da quantidade de Fragmentos

Algoritmos

Algorithm *Fragmentation Threshold Level*

Input *len*: Data Length

```
1 if len <= SicsLowOneFragLen then
2   fragments = 1
3 else
4   fragments = roundUp((len - SicsLowFrag1Len)/SicsLowFragNLen) + 1
5 return fragments
```

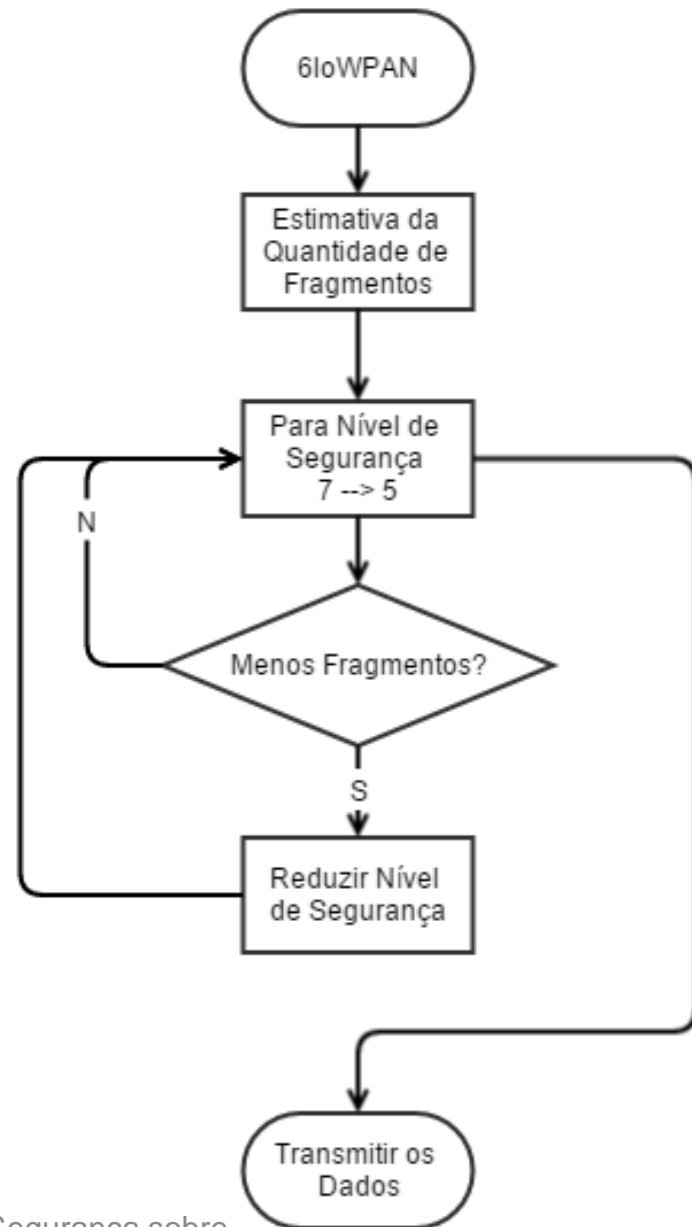
Algorithm *Thresholds*

Input *frag7*: FTL7

frag6: FTL6

frag5: FTL5

```
1 if frag5 < frag6 || frag6 < frag7 || frag5 < frag7 then
2   decreaseSecurityLevel()
3 return fragments
```



Experimento

- Simulador Cooja [Osterlind et al. 2006]
- Tempo de criptografia desprezível [Lee et al. 2010]

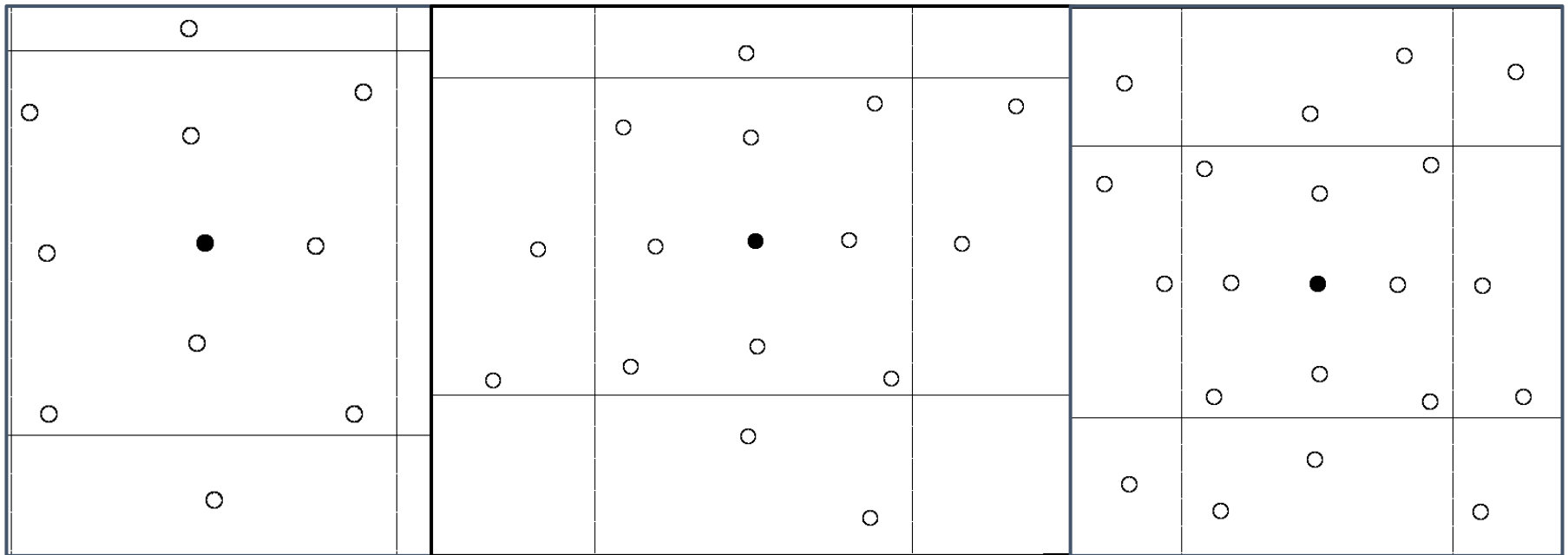
Quantidade de Dispositivos	Taxa de Transmissão (mpm)	Carga Útil		Fragmentos
		Nv5	Nv7	
11	1	69		1
16	5	148	71	2
21	10	264	148	3
		313	264	4
		375	313	5
			375	6

Cenários

10 dispositivos

15 dispositivos

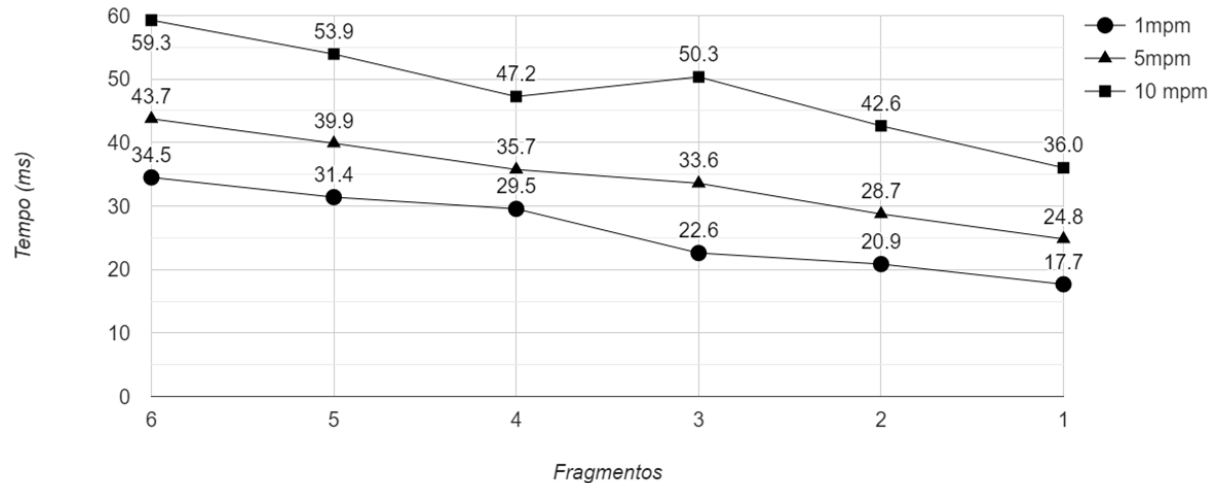
20 dispositivos



Experimento

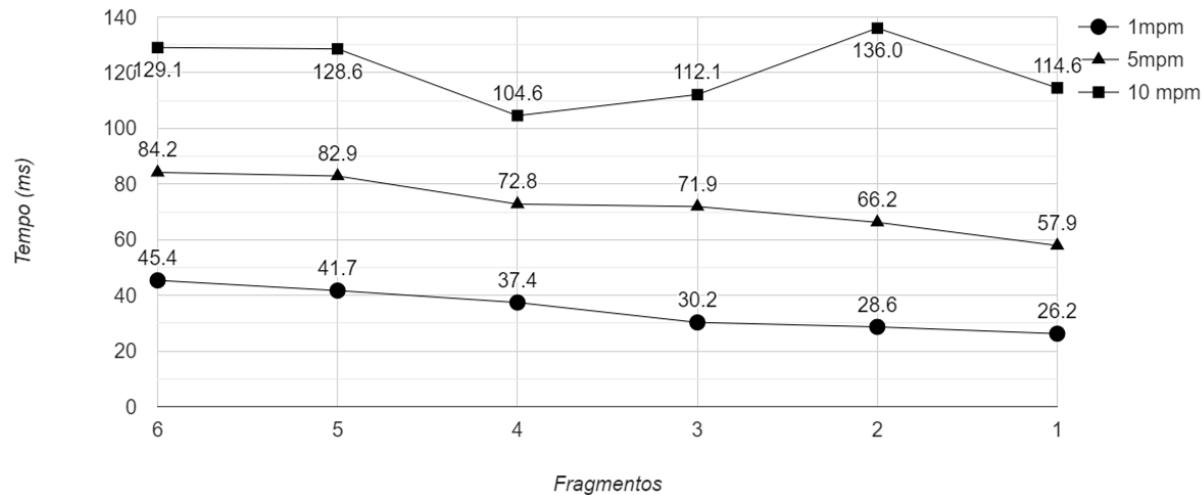
- Fatorial completo
 - 3 redes * 3 taxas * 6 fragmentos = 54 experimentos
 - 10 repetições cada = 540 experimentos
- Estatística
 - Cada repetição gera uma média
 - Amostras de 10 médias são comparadas
 - Estatística para a diferença entre amostras 90% de confiança

10 dispositivos



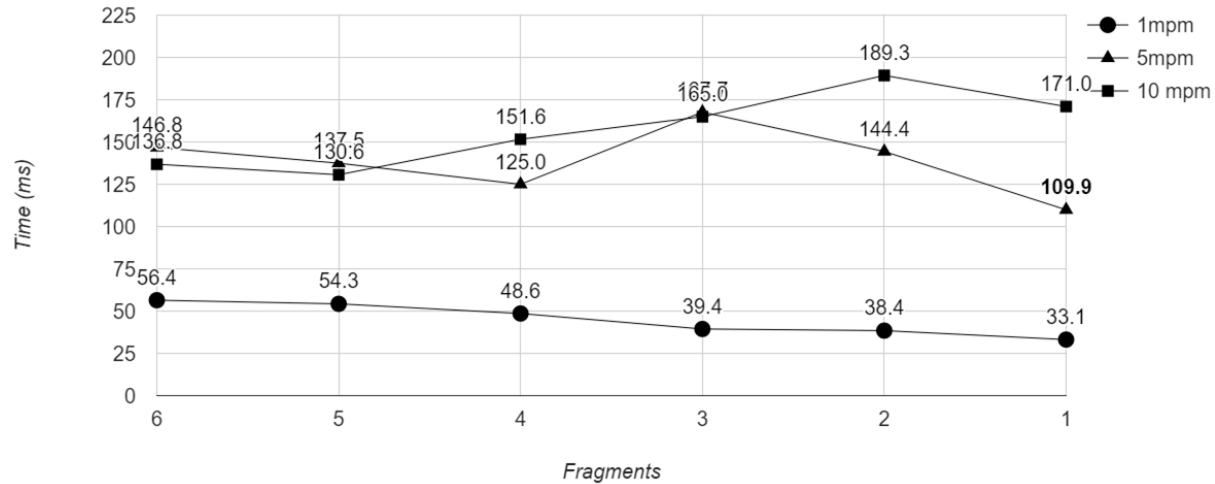
Redução de fragmentos	1 mpm	5 mpm	10 mpm
2 para 1	15%	14%	15%
3 para 2	8%	14%	15%
4 para 3	24%	6%	-7%
5 para 4	6%	10%	12%
6 para 5	9%	9%	9%

15 dispositivos



Redução de fragmentos	1 mpm	5 mpm	10 mpm
2 para 1	9%	13%	16%
3 para 2	5%	8%	-21%
4 para 3	19%	1%	-7%
5 para 4	10%	12%	19%
6 para 5	8%	2%	0%

20 dispositivos



Redução de fragmentos	1 mpm	5 mpm	10 mpm
2 para 1	14%	24%	10%
3 para 2	2%	14%	-15%
4 para 3	19%	-34%	-9%
5 para 4	11%	9%	-16%
6 para 5	4%	6%	5%

Conclusões

- Existem casos em que ocorrem reduções de até 20% no atraso
- Em redes de 15 e 20 dispositivos os ganhos são significativos enquanto a taxa de transmissão de mensagens não ultrapassa 5 mpm

Trabalhos Futuros

- Propor outras técnicas que utilizem a flexibilidade existente na subcamada de segurança do padrão 802.15.4 para economizar energia e diminuir o atraso no envio das mensagens
- Podem ser investigados mais cenários, além dos analisados, onde ganhos são expressivos
- Podem ser estudados os casos em que a criptografia é realizada por software

Avaliação do Impacto da Segurança sobre a Fragmentação em Redes de Sensores Sem Fio na Internet das Coisas

Francisco Ferreira de Mendonça Júnior (UFPE)

ffmj@cin.ufpe.br

Obionor de Oliveira Nóbrega (UFRPE)

obionor.nobrega@ufrpe.br

Paulo Roberto Freire Cunha (UFPE)

prfc@cin.ufpe.br

Referências

- Bormann, C., & Shelby, Z. (2015). Blockwise Transfers in CoAP draft-ietf-core-block-18. Available online: <http://tools.ietf.org/html/draft-ietf-core-block-18> (accessed on 25 nov 2015).
- Cody-Kenny, B., Guerin, D., Ennis, D., Simon Carbajo, R., Huggard, M., & Mc Goldrick, C. (2009, October). Performance evaluation of the 6LoWPAN protocol on MICAz and TelosB motes. In Proceedings of the 4th ACM workshop on Performance monitoring and measurement of heterogeneous wireless and wired networks (pp. 25-30). ACM.
- Deering, S. E. Hinden, R (1998). Internet protocol, version 6 (IPv6) specification. (No. RFC 2460).
- Gubbi, J., Buyya, R., Marusic, S., & Palaniswami, M. (2013). Internet of Things (IoT): A vision, architectural elements, and future directions. *Future Generation Computer Systems*, 29(7), 1645-1660.
- Harvan, M., & Schönwälder, J. (2008). TinyOS Motes on the Internet: IPv6 over 802.15. 4 (6LoWPAN). *PIK-Praxis der Informationsverarbeitung und Kommunikation*, 31(4), 244-251.
- Hinden, R., & Deering, S. (1995). Internet protocol, version 6 (IPv6) specification.
- Hummen, R., Hiller, J., Wirtz, H., Henze, M., Shafagh, H., & Wehrle, K. (2013, April). "6LoWPAN fragmentation attacks and mitigation mechanisms". In Proceedings of the sixth ACM conference on Security and privacy in wireless and mobile networks (pp. 55-66). ACM.

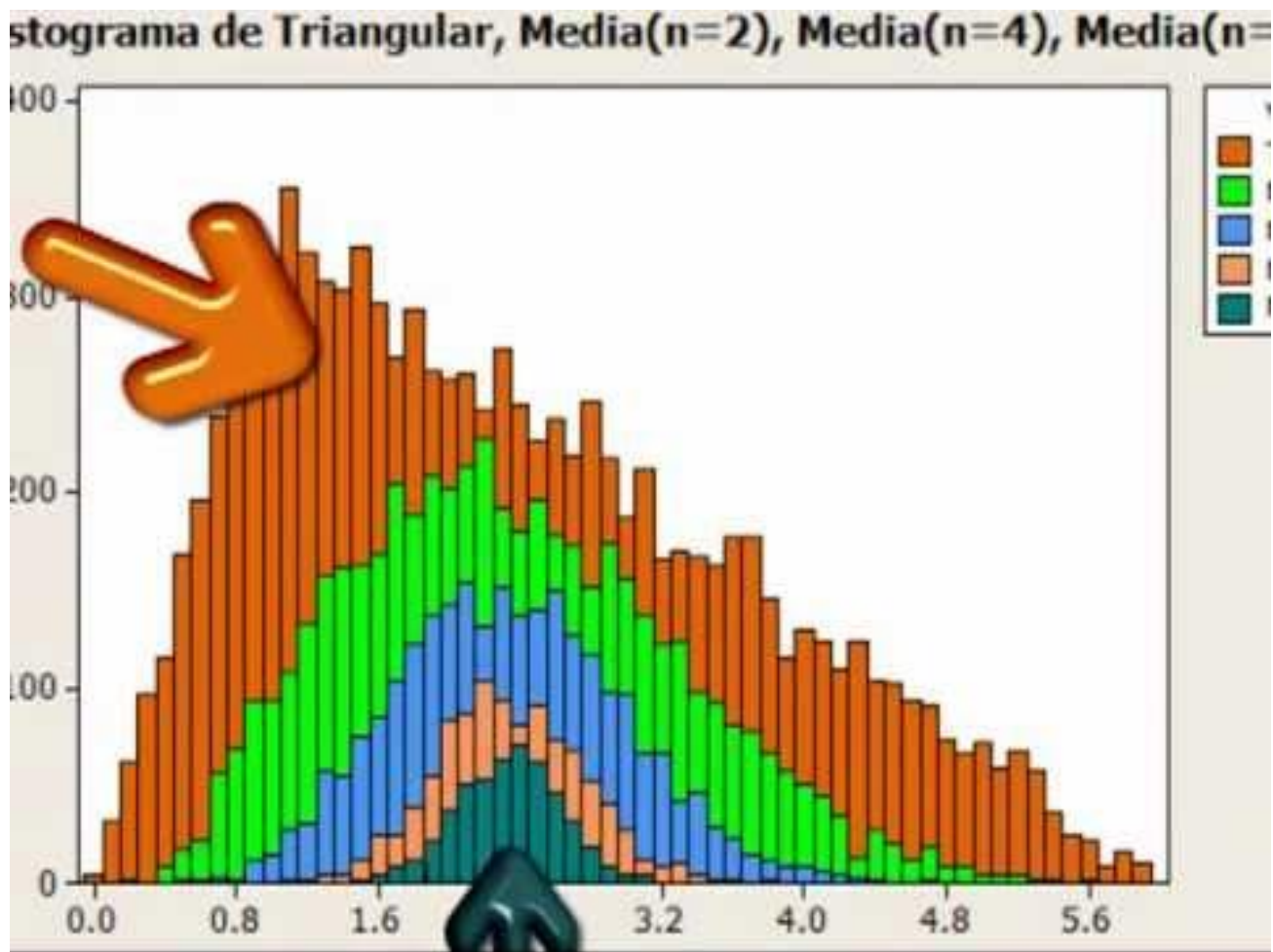
- Keoh, S. L., Kumar, S. S., & Tschofenig, H. (2014). Securing the internet of things: A standardization perspective. *Internet of Things Journal, IEEE*, 1(3), 265-275.
- Kuryla, S., & Schönwälder, J. (2011). Evaluation of the resource requirements of snmp agents on constrained devices. In *Managing the Dynamics of Networks and Services* (pp. 100-111). Springer Berlin Heidelberg.
- Kushalnagar, N., Montenegro, G., & Schumacher, C. (2007). IPv6 over low-power wireless personal area networks (6LoWPANs): overview, assumptions, problem statement, and goals (No. RFC 4919).
- Lee, J., Kapitanova, K., & Son, S. H. (2010). The price of security in wireless sensor networks. *Computer Networks*, 54(17), 2967-2978.
- Ludovici, A., Marco, P. D., Calveras, A., & Johansson, K. H. (2014). Analytical model of large data transactions in CoAP networks. *Sensors*, 14(8), 15610-15638.
- Montenegro, G., Kushalnagar, N., Hui, J., & Culler, D. (2007). Transmission of IPv6 packets over IEEE 802.15. 4 networks (No. RFC 4944).
- Osterlind, F., Dunkels, A., Eriksson, J., Finne, N., & Voigt, T. (2006, November). Cross-level sensor network simulation with cooja. In *Local Computer Networks, Proceedings 2006 31st IEEE Conference on* (pp. 641-648). IEEE.
- Pope, J., & Simon, R. (2013). The Impact of Packet Fragmentation and Reassembly in Resource Constrained Wireless Networks. *CIT. Journal of Computing and Information Technology*, 21(2), 97-107.

- Rachedi, A., & Hasnaoui, A. (2015). Advanced quality of services with security integration in wireless sensor networks. *Wireless Communications and Mobile Computing*, 15(6), 1106-1116.
- Raza, S., Duquennoy, S., Höglund, J., Roedig, U., & Voigt, T. (2012). Secure communication for the Internet of Things—a comparison of link layer security and IPsec for 6LoWPAN. *Security and Communication Networks*.
- Raza, S., Shafagh, H., Hewage, K., Hummen, R., & Voigt, T. (2013). Lite: Lightweight secure CoAP for the internet of things. *Sensors Journal, IEEE*, 13(10), 3711-3720.
- Sastry, N., & Wagner, D. (2004, October). Security considerations for IEEE 802.15. 4 networks. In *Proceedings of the 3rd ACM workshop on Wireless security* (pp. 32-42). ACM.
- Shelby, Z., Chakrabarti, S., Nordmark, E., & Bormann, C. (2012). Neighbor discovery optimization for IPv6 over low-power wireless personal area networks (6LoWPANs) (No. RFC 6775).
- Silva, R., Silva, J. S., & Boavida, F. (2009). Evaluating 6LoWPAN implementations in WSNs. *Proceedings of 9th Conferencia sobre Redes de Computadores Oeiras, Portugal*, 21.
- Suh, C., Mir, Z. H., & Ko, Y. B. (2008). Design and implementation of enhanced IEEE 802.15. 4 for supporting multimedia service in Wireless Sensor Networks. *Computer Networks*, 52(13), 2568-2581.
- Xiao, Y., Chen, H. H., Sun, B., Wang, R., & Sethi, S. (2006). MAC security and security overhead analysis in the IEEE 802.15. 4 wireless sensor networks. *EURASIP Journal on Wireless Communications and Networking*, 2006(2), 81-81.
- Yick, J., Mukherjee, B., & Ghosal, D. (2008). Wireless sensor network survey. *Computer networks*, 52(12), 2292-2330.

Valores para as variáveis do Algoritmo 1 de acordo com o nível de segurança

	SicsLowOneFragLen	SicsLowFrag1Len	SicsLowFragNLen
Level 5	91	87	86
Level 6	87	83	82
Level 7	79	75	74

Diferença entre amostras



Taxonomia

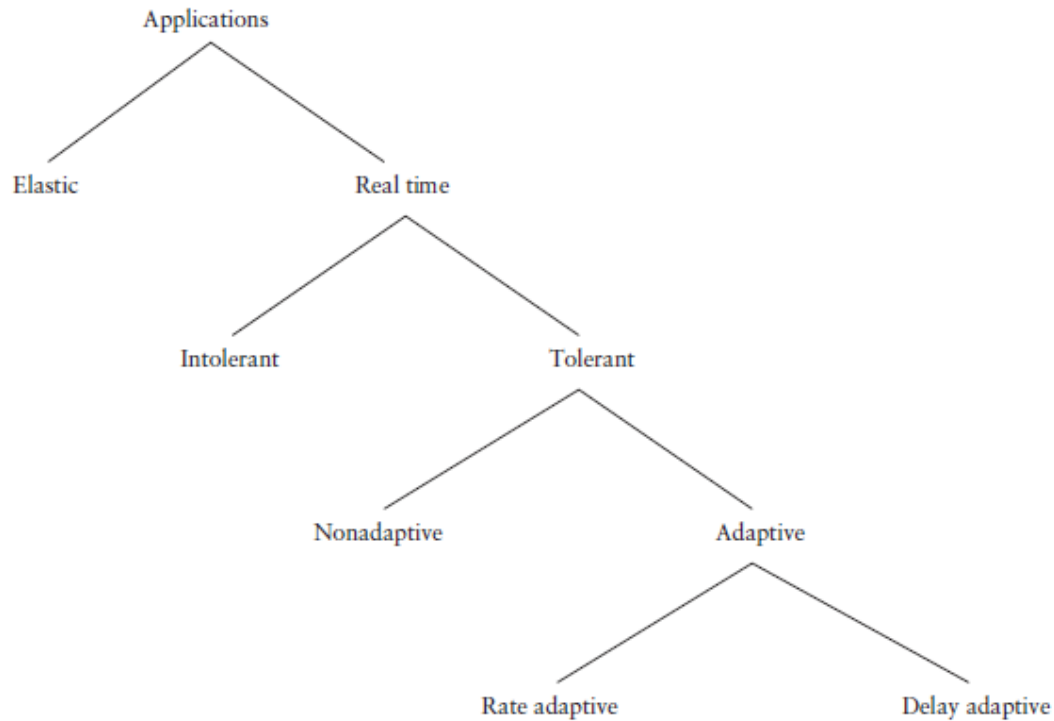
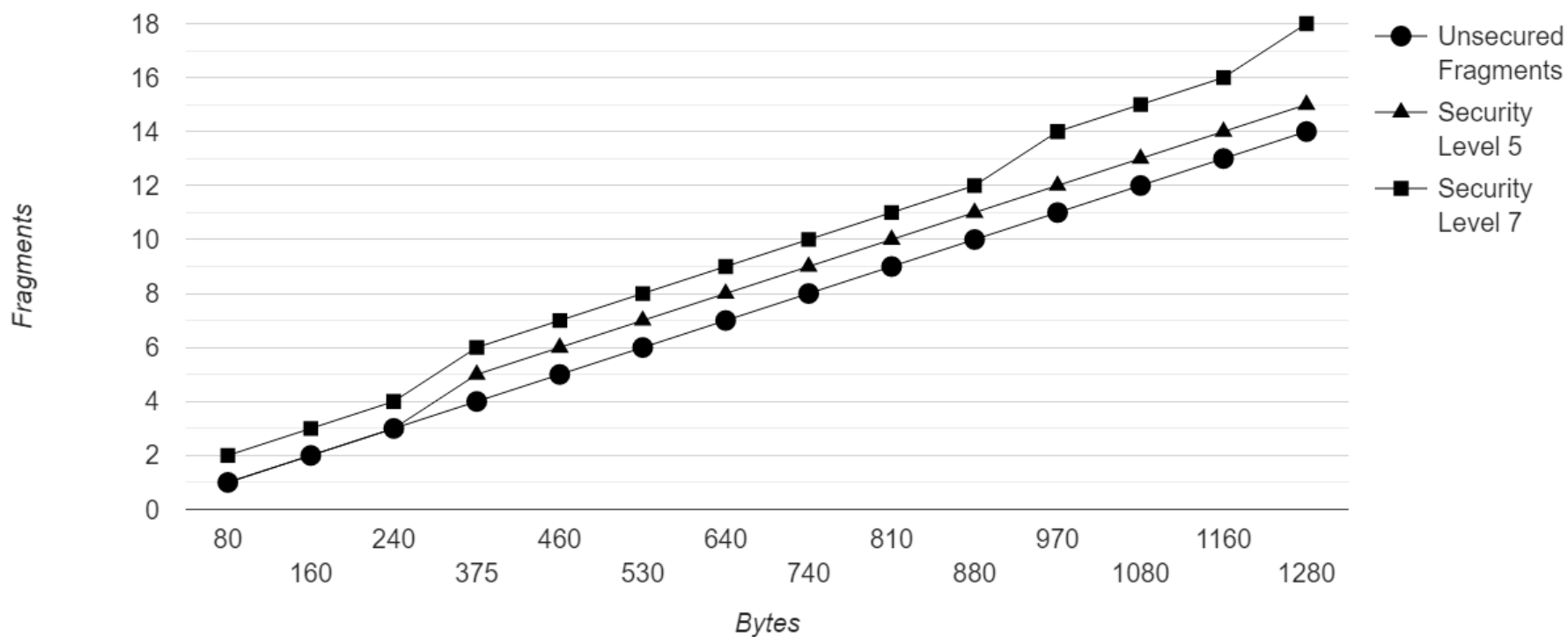


Figure 6.23 Taxonomy of applications.

Relação entre carga útil e fragmentos



Identificação da quantidade de fragmentos de acordo com a nível de segurança

Algorithm *Fragmentation Threshold Level*

Input *len*: Data Length

```
1 if len <= SicsLowOneFragLen then  
2   fragments = 1  
3 else  
4   fragments = roundUp((len - SicsLowFrag1Len)/SicsLowFragNLen) + 1  
5 return fragments
```

Redução da quantidade de fragmentos

Algorithm Thresholds

Input *frag7*: FTL7

frag6: FTL6

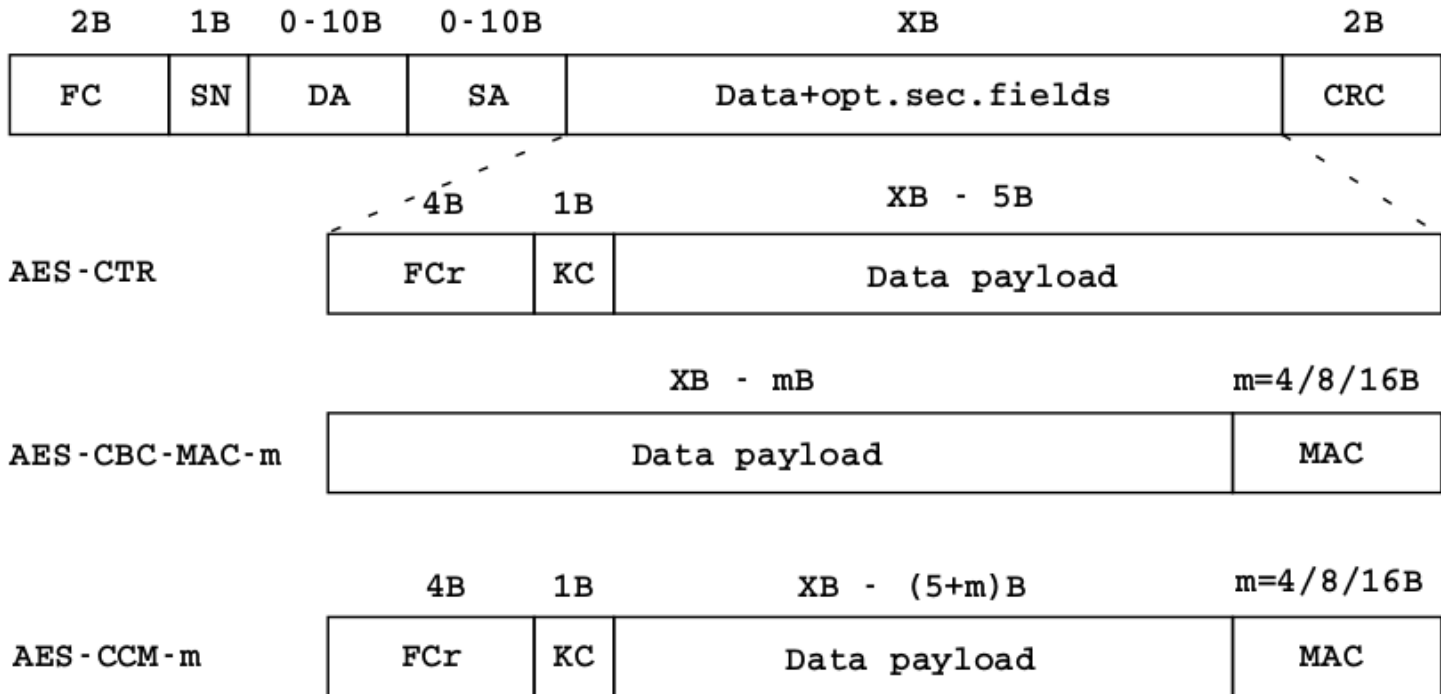
frag5: FTL5

1 if frag5 < frag6 || frag6 < frag7 || frag5 < frag7 then

2 decreaseSecurityLevel()

3 return fragments

Segurança



FC: Frame Control
 SN: Sequence Number
 DA: Destination Address
 SA: Source Address

FCr: Frame Counter
 KC: Key Control
 MAC: Message Authentication Code

Para cada nível de segurança

- A quantidade de dados disponível quando o dado não é fragmentado
 - SicsLowOneFragLen
- A quantidade de dados disponível quando o dado é fragmentado
 - SicsLowFrag1Len
 - SicsLowFragNLen

Superframe

- Aplicações com quantidade de dados bem definidos
- Pode apresentar problemas se houverem muitos saltos